

石川島播磨重工業 工博 秋田将雄  
 " 工博 矢田敏夫  
 " 正員○柳沢一郎

### 1. まえがき

LPG, LMGなどの低温の液体を貯蔵するのに従来は地上タンクを用いてきたが、これらを地下タンクに貯蔵するより安全性と経済性において多くの利点がある。このあたり最近アメリカやフランスなどではこれらの可燃性低温液体を地下タンクに貯蔵する趨勢がある。

我国ではこれら可燃性の低温液体を貯蔵する大型の地下タンクはまだ構築されていない。このことはこれらの需要が少なかったことによるが、今後これらが必要は大巾で増加する傾向にあるので、低温液体貯蔵用の安全且つ経済的な地下タンクの建設が要望されている。

地下タンクの中に入れる低温液体を入れることにより、タンクの側壁内に温度差を生じたり結果熱応力が発生する。この熱応力は初期のタンクの徐冷速度に依存する。また時間の経過とともにわざって、タンク周囲の水分を含む土壤は凍結する。凍結によって体積膨張を起し凍土はタンク下凍上現象や凍結土圧を生じることになる。更にタンクを冷却する初期に特に低温液体の蒸発量が多くなる。

そこで地下タンクに低温の液体を入れたときに起る熱的諸問題について述べる。

### 2. 本体および土壤の冷却に伴う諸現象

一般に低温地下タンクは内張鋼板、コンクリートそれに必要に応じて断熱材から構成されることが多くと予想される。そこで低温地下タンクの熱的問題をはじめ材料の低温特性、温度分布、熱応力、蒸発熱量、凍上、凍結土圧について参考する。

#### (1) 本体の材料および凍結土の低温特性

低温液体貯蔵用地下タンクは液の漏洩防止のため薄肉の内張鋼板を使用するが、鋼板は低温になると脆性破壊を起す危険性があるので使用温度において十分な塑性をもつよう材質の鋼板を使用しなければならない。

そこで軟鋼およびアルミニルド鋼のシャルピー衝撃試験を行ったのが図-1に示す。これからSS-41の2~3mm程度の薄鋼板は-80°Cまでは低温剛性が常温に較べて劣化することはないのでLPG用に安心して使用できることが確認された。しかしLMGなどの様な超低温の液体を貯

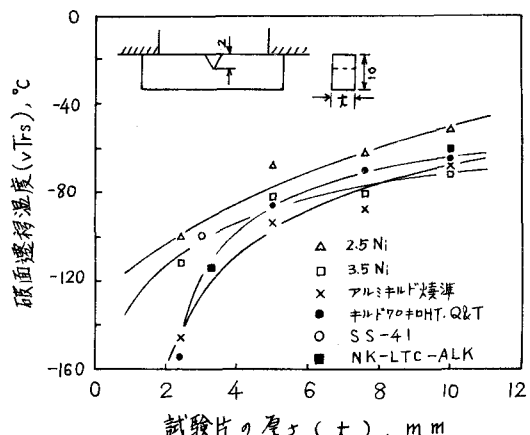


図-1 シャルピー衝撃試験結果

貯蔵する地下タンクの内張鋼板には 9% ニッケル鋼、アルミニウム合金、ステンレス鋼などのが通常である。シャルピー衝撃試験に使用した材料の化学成分と機械的性質を表-1 に示す。

### B. E. Eakin<sup>(1)</sup> によってコンクリート

圧縮強度は -130°C で常温の 3 倍、低温引張強度は -60°C で常温の 2.5 倍程度に向上升することが報告されている。特にコンクリート中に含まれる水分およびセメント量の多いものほど低温における強度が増す。

次にアメリカの LNG Tank Group<sup>(2)</sup>

によると、凍結土とコンクリートと同様に

低温強度の増すことが報告されている。凍結土の圧縮強度は -150°C で最大 700 kg/cm<sup>2</sup> を示しコンクリートと同程度の強度を期待することが地下タンクの強度上大いに有利であると思われる。

### (2) 本体および土壤の温度分布、凍結深度

断熱材、円筒タンクの壁、凍結土壤、未凍結土壤からなる有限中の多層体の熱伝導理論的上且つ厳密に解くことは非常に困難である。実際に低温地下タンクの設計に当たっては各部材の温度分布、熱応力および各部材の影響を考慮したときの凍結深度、蒸発量などを明確にさせることが必要である。そこで著者らは各部材の熱的現象を把握するため次の様に一次元の多層体に対する熱伝導の近似解法を試した。計算モデルは図-2 に示す様に三層の部材から構成されておりそのとく、タンクの内面は瞬間に低温 ( $\theta_c$ ) に冷却されたものと仮定すると、Laplace 変換を適用することによって、各部材の温度分布が次の様に求められる。

$\theta_c, \theta_\infty$  液温及び地中平均温度 (°C)

$\theta_1, \theta_2, \theta_3$  各部材の温度 (°C)

$K_1, K_2, K_3$  " 热伝導率 (Kcal/m·h·°C)

$K_1, K_2, K_3$  " 温度伝導率 (m<sup>2</sup>/h)

$t$  時間 (h)

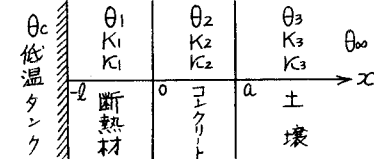


図-2 計算モデル

$$\frac{\theta_3 - \theta_\infty}{\theta_c - \theta_\infty} = \frac{2(1-\alpha_o)}{1+\alpha^2} \left[ \operatorname{erfc} \frac{(x-a)k_o + a + \frac{l}{K}}{2\sqrt{K_o t}} + \alpha \operatorname{erfc} \frac{(x-a)k_o + a + \frac{3l}{K}}{2\sqrt{K_o t}} - \alpha \alpha_o \operatorname{erfc} \frac{(x-a)k_o + 3a + \frac{l}{K}}{2\sqrt{K_o t}} + \alpha_o \operatorname{erfc} \frac{(x-a)k_o + 3(a + \frac{l}{K})}{2\sqrt{K_o t}} \right. \\ + \alpha^2 \operatorname{erfc} \frac{(x-a)k_o + a + \frac{5l}{K}}{2\sqrt{K_o t}} - 2\alpha^3 \operatorname{erfc} \frac{(x-a)k_o + 3(a + \frac{l}{K})}{2\sqrt{K_o t}} + 2\alpha \alpha_o \operatorname{erfc} \frac{(x-a)k_o + 3a + \frac{5l}{K}}{2\sqrt{K_o t}} + \alpha^2 \alpha_o \operatorname{erfc} \frac{(x-a)k_o + 5a + \frac{l}{K}}{2\sqrt{K_o t}} \\ \left. - 2\alpha \alpha_o^2 \operatorname{erfc} \frac{(x-a)k_o + 5a + \frac{3l}{K}}{2\sqrt{K_o t}} + \alpha_o^2 \operatorname{erfc} \frac{(x-a)k_o + 5(a + \frac{l}{K})}{2\sqrt{K_o t}} + \dots \dots \right] \quad (1)$$

$$\frac{\theta_2 - \theta_\infty}{\theta_c - \theta_\infty} = \frac{2}{1+\alpha^2} \left[ \operatorname{erfc} \frac{x + \frac{l}{K}}{2\sqrt{K_o t}} + \alpha \operatorname{erfc} \frac{x + \frac{3l}{K}}{2\sqrt{K_o t}} - \alpha \alpha_o \operatorname{erfc} \frac{(x+2a) + \frac{l}{K}}{2\sqrt{K_o t}} + (\alpha^2 - 2\alpha \alpha_o) \operatorname{erfc} \frac{(x+2a) + \frac{3l}{K}}{2\sqrt{K_o t}} \right. \\ + \alpha^2 \operatorname{erfc} \frac{x + \frac{5l}{K}}{2\sqrt{K_o t}} + 2\alpha \alpha_o \operatorname{erfc} \frac{(x+2a) + \frac{5l}{K}}{2\sqrt{K_o t}} + \alpha^2 \alpha_o^2 \operatorname{erfc} \frac{(x+4a) + \frac{l}{K}}{2\sqrt{K_o t}} - 2\alpha \alpha_o^2 \operatorname{erfc} \frac{(x+4a) + \frac{3l}{K}}{2\sqrt{K_o t}} \left. \right]$$

$$\begin{aligned}
& + \alpha_0^2 \operatorname{erfc} \frac{(x+4a) + \frac{5l}{K}}{2\sqrt{K_1 t}} - \left\{ \alpha_0 \operatorname{erfc} \frac{(2a-x) + \frac{l}{K}}{2\sqrt{K_1 t}} + \alpha_0 \operatorname{erfc} \frac{(2a-x) + \frac{3l}{K}}{2\sqrt{K_1 t}} - \alpha_0^2 \operatorname{erfc} \frac{(4a-x) + \frac{l}{K}}{2\sqrt{K_1 t}} \right. \\
& + (\alpha_0^2 - 2\alpha_0^2 \alpha_0^2) \operatorname{erfc} \frac{(4a-x) + \frac{3l}{K}}{2\sqrt{K_1 t}} + \alpha_0^3 \operatorname{erfc} \frac{(2a-x) + \frac{5l}{K}}{2\sqrt{K_1 t}} + 2\alpha_0^2 \operatorname{erfc} \frac{(4a-x) + \frac{5l}{K}}{2\sqrt{K_1 t}} \\
& \left. + \alpha_0^2 \alpha_0^3 \operatorname{erfc} \frac{(6a-x) + \frac{l}{K}}{2\sqrt{K_1 t}} - 2\alpha_0^3 \operatorname{erfc} \frac{(6a-x) + \frac{3l}{K}}{2\sqrt{K_1 t}} + \alpha_0^3 \operatorname{erfc} \frac{(6a-x) + \frac{5l}{K}}{2\sqrt{K_1 t}} \right\} \dots \quad (2)
\end{aligned}$$

$$\text{ただし } K^2 = \frac{K_1}{K_2}, \quad K_0 = \frac{K_2}{K_3}, \quad \sigma = \frac{K_2}{K_1} k, \quad \sigma_0 = \frac{K_3}{K_2} k, \quad \alpha = \frac{\sigma - 1}{\sigma + 1}, \quad \alpha_0 = \frac{\sigma_0 - 1}{\sigma_0 + 1} \quad (3)$$

$$\operatorname{erf}(x) = \frac{2}{\sqrt{\pi}} \int_0^x e^{-t^2} dt \quad \operatorname{erfc}(x) = 1 - \operatorname{erf}(x) \quad (4)$$

$\theta_1$  と  $\theta_2$  では  $\theta_1$  から  $\theta_2$  への逆変換が困難である。したがって  $\theta_1$  と  $\theta_2$  では比較的短期間の蒸発量または熱伝導率を計算するに便利に有用となるので、二層で近似して十分な精度が得られるものと思われる。そこで二層近似のときの  $\theta_1$  と  $\theta_2$  を  $\theta_1$  と  $\theta_2$  で解くと次式を得る。

$$\frac{\theta_1 - \theta_{\infty}}{\theta_c - \theta_{\infty}} = \sum_{n=0}^{\infty} X^n \left\{ \operatorname{erfc} \frac{(2n+1)l+x}{2\sqrt{K_1 t}} - X \operatorname{erfc} \frac{(2n+1)l-x}{2\sqrt{K_1 t}} \right\} \quad (5)$$

$$\frac{\theta_2 - \theta_{\infty}}{\theta_c - \theta_{\infty}} = \frac{2}{1+\alpha} \sum_{n=0}^{\infty} X^n \operatorname{erfc} \frac{(2n+1)l+kx}{2\sqrt{K_1 t}} \quad (6)$$

$$\text{したがって蒸発量は } Q = K_1 \left[ \frac{\partial \theta_1}{\partial x} \right]_{x=-l} = \frac{K_1 (\theta_{\infty} - \theta_c)}{\sqrt{\pi K_1 t}} \left\{ 1 + \sum_{n=1}^{\infty} Z X^n e^{-\frac{n^2 l^2}{K_1 t}} \right\} \quad (7)$$

(6) 式より算出された凍結深度を実験値と共に図-3に示す。

### (3) タンク内の液体の蒸発量(徐冷速度を考慮した場合)

徐冷速度を考慮した場合の蒸発量は(7)式から求めると次のとおりである。しかし実際にはタンクを徐冷しながら液体を注入するので、タンク内壁を常温から液温まで直線的に下る。時間要して徐冷する場合と仮定して二層近似で理論計算を行うと蒸発量は次式で求められる。

$$\frac{Ql}{K_1(\theta_c - \theta_{\infty})} \cong - \frac{l}{\sqrt{K_1 t}} \frac{t}{t_0} \left\{ \frac{2}{\sqrt{\pi}} + 2 \sum_{n=1}^{\infty} X^n 2 \operatorname{erfc} \frac{n l}{\sqrt{K_1 t}} \right\} \quad t \leq t_0. \quad (8)$$

$$\frac{Ql}{K_1(\theta_c - \theta_{\infty})} \cong \frac{t-t_0}{t_0} \frac{l}{\sqrt{K_1(t-t_0)}} \left\{ \frac{2}{\sqrt{\pi}} + 2 \sum_{n=1}^{\infty} X^n 2 \operatorname{erfc} \frac{n l}{\sqrt{K_1(t-t_0)}} \right\} - \frac{t}{t_0} \frac{l}{\sqrt{K_1 t}} \left\{ \frac{2}{\sqrt{\pi}} + 2 \sum_{n=1}^{\infty} X^n 2 \operatorname{erfc} \frac{n l}{\sqrt{K_1 t}} \right\} \quad t \geq t_0. \quad (9)$$

$$\text{ただし } 2 \operatorname{erfc}(X) = \frac{2}{\sqrt{\pi}} e^{-X^2} - 2 \operatorname{erf}(X) \quad (10)$$

(8), (9)式の計算結果を図-4に示す。この図より徐冷が完了するとともに( $t/t_0 = 1$ )最大蒸発量を示すことがわかる。それ以後は時間の経過と共に減少していく。

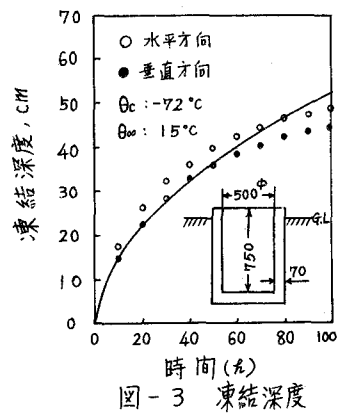


図-3 凍結深度

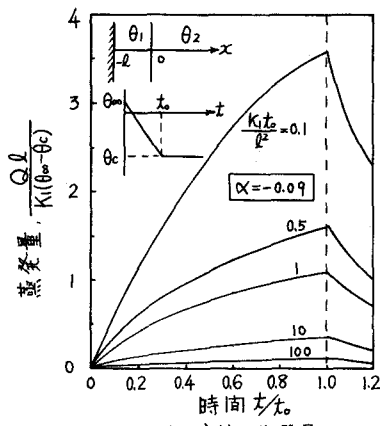


図-4 液体の蒸発量

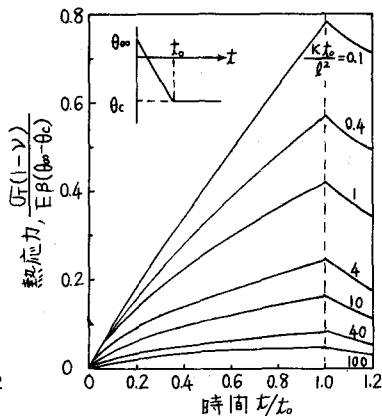


図-5 タンク内壁に発生する熱応力

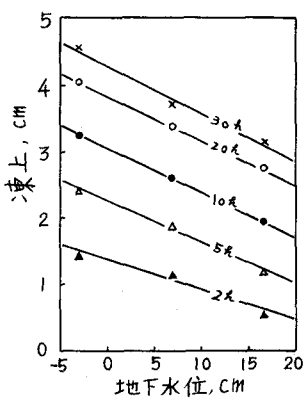


図-6 凍上と地下水位の関係

#### (4) タンク内壁に発生する熱応力と徐冷速度の関係

タンク内壁に発生する熱応力  $\sigma_T$  は次の様に示される。

$$\sigma_T = \frac{E\beta}{1-\nu} \left\{ \frac{1}{l} \int_0^l \theta dx - \theta \right\} \quad (10)$$

ただし  $E$ ,  $\beta$ ,  $\nu$  はそれぞれ温度伝導率, ヤング率, 線膨張係数, ホッソン比である。

蒸発量と同様に徐冷速度を考慮して一層近似で求めた温度分布を (10) 式に代入し数値計算した結果を無次元化して図-5 に示す。この図から蒸発量と同じく徐冷が完了すると同時に最大熱応力の発生があることがわかる。またタンクの壁厚が厚くなることは熱応力を対して不利である。

#### (5) 凍上現象と防止対策

凍上現象は周囲の種々の条件によってますが、凍上に最も影響を与える因子は土壌と地下水位である。粘土の中には模型タンクを埋設してドライアイスで冷却しながら凍上量と地下水位の関係を調べた結果図-6 の関係が得られた。この実験によると凍上量と地下水位は直線的関係にあることがわかる。土壤について休シルトは不整凍上を伴う大まか凍上を起し、砂は地下水位に關係なくほとんど凍上しない。

凍上防止対策としては熱影響部の土壤を砂で置換するか、冰床降下剤を土壤中に散布せると良い。更に電気ヒーターを埋設する方法も考えられるが、可燃性ガスを貯蔵するタンクでは十分注意が必要である。

なお本論文の詳細については土木学会論文集に今秋発表する予定である。

#### 参考文献

- 1) B.E. Eakin.: Belowground Storage of Liquefied Natural Gas in Prestressed Concrete Tanks, American Gas Association, Inc 1963
- 2) LNG Tank Group of the Manufactured Gas Production Committee; LNG Information Book, American Gas Association, Inc 1965